

Г. П. Багдасарян, В. О. Пароникян

ГЕОЛОГО-РАДИОГЕОХРОНОЛОГИЧЕСКИЕ ДАННЫЕ О ПАЛЕО-
ГЕНОВЫХ МАГМАТИЧЕСКИХ ПОРОДАХ МАРЦИГЕТСКОГО РУДНО-
ГО ПОЛЯ

Марцигетское рудное поле расположено в среднем течении р. Марц и приурочено к пограничной полосе двух разнородных структурно-фаунистических зон - Алаверди-Кафанская и Севано-Амасийской. Граница эоценовых и юрских образований проходит в северных частях рудного поля, где выступают нижние горизонты разреза эоцена. Здесь нижнеэоценовые отложения трансгрессивно, с базальным конгломератом в основании налегают на размытой поверхности юры. Представлены они глинами, алевролитами, мергелями, песчаниками с прослоями угля и углистых сланцев (угленосная толща) мощностью до 100-150 м. Известны они под названием шамутской свиты (О. А. Саркисян, 1966) и узкой полосой прослеживаются от с. Шамут до с. Атан. Нижнеэоценовый возраст указанных отложений подтверждается работами С. М. Григорян (1974) и П. М. Аслания собранный фауной гастропод, пелепицпод и нуммулитид. В этих же участках нижнеэоценовые отложения несогласно перекрываются флишоидными образованиями мощностью до 100 м, которые, по С. М. Григорян, представлены ритмично чередующимися тонкослоистыми туффитами, туфопесчаниками и мергелями. По фораминиферам и нуммулитидам среднезоценовый возраст указанной толщи определяют А. Т. Аслания (1958), О. А. Саркисян (1966), П. М. Аслания (1973), С. М. Григорян (1974) и др. Вышеуказанные фаунистически охарактеризованные осадочные образования нижнего и среднего эоцена к югу и юго-западу перекрываются мощной толщей вулканогенных пород, слагающих преобладающую часть Марцигетского рудного поля. Вулканогенные породы здесь обладают северо-западным простиранием и моноклинальным пологим падением на юго-запад (под углом 20-30°). Состоят они преимущественно из лав и туfov, базальтовых, андезито-базальтовых, реже - андезито-дацитовых порфириотов при резко подчиненной роли нормально осадочных образований. Этот комплекс вулканогенных пород, ввиду отсутствия в них фауны, условно ранее был отнесен к среднему эоцена. В левом борту р. Марц, на верхних частях разреза, указанный комплекс пород перекрывается эффузивными образованиями, представленными витролитокластическими туфами трахидацитов, трахилипарато-дацитов и

трахилипаратов. Эти щелочные и субщелочные эфузивы условно отнесены к верхнему эоцену (В. О. Пароникян, 1974).

В пределах рассматриваемого рудного поля широко развиты разнообразные по морфологическим и петрографическим особенностям субвуликанические и дайковые породы преимущественно основного и среднего составов. На правом борту долины р. Марц они образуют мощную дайковую полосу, которая прослеживается в северо-западном направлении на протяжении 8 км и, по-видимому, трассирует разломную зону глубокого заложения. Дайки основного и среднего составов прорывают отмеченные вулканогенные породы среднего эоцена и не наблюдаются в вышележащих образованиях. Они являются важным элементом в структурном контроле свинцово-цинковой (с золотом) минерализации Марцигетского рудного поля. Среди них преобладают полифировые плагиоклазовые порфиры андезито-базальтового состава, для которых характерны вытянутые неправильные субвуликанические тела (мощностью до 100–200 м) и дайки. На участке Парвашен-Будагидзор они прорываются дайками олигопиритовых и микропиритовых диабазов, мощность которых составляет обычно 1–2 м, реже доходит до 20–30 м.

В целях датирования времени и последовательности формирования рассматриваемых вулканических, экструзивных и дайковых пород Марцигетского рудного поля, наиболее представительные образцы этих пород подверглись радиогеохронологическому исследованию в Лаборатории ядерной геохронологии ИГН АН Армянской ССР. Абсолютный возраст одного и того же образца определялся двумя взаимоконтролирующими вариантами калий-argonового метода: объемным и изотопным разбавлением. В последнем случае в качестве индикатора использовался аргон, обогащенный до 96 аргоном-38, т. е. практически моноизотоп. Плавка образца в реакторе, выделение и очистка аргона выполнялись на двух отдельных аргоновых установках конструкции Хлопина-Герлинга, разными операторами, независимо друг от друга. Изотопный анализ аргона выполнялся в масс-спектрометре МИ-1301 двумя методом измерений изотопных отношений Az^{36}/Az^{40} образца и эталона.

По каждому исследованному образцу получались, таким образом, две, реже три серии независимых определений, причем возрастные значения получались достаточно близкими. В основу абсолютного возраста исследуемого образца принималось среднее значение полученных цифр.

Погрешность метода составляет до $\pm 10\%$. Учитывая также, что радиогеологическое исследование образцов выполнялось, за отсутствием следы или роговой обманки, по породе, наиболее близкими к истинному геологическому времени формирования породы следовало бы принять полученные возрастные значения с поправкой на погрешность метода (10%), но со знаком "+". Подобная поправка правомерна и потому, что, как видно из краткой петрографической характеристики исследованных пород (см. табл. 1), в них наблюдаются в той или иной мере явления хлоритизации, карбонатизации и девитрификации, процессы, которые ведут к частичной миграции из породы накопленного (от распада калия) радиогенного аргона.

Таблица 1

| № п/п | Номера образцов | Название минерала или горной породы и место взятия | Содерж- жение калия в % | K_{40} 2/2 10^{-5} | $A_{T=0}$ % радио- гени. | $A_{T=0}$ 2/2 10^{-6} | $A_{T=0}$ 2/2 10^{-6} | Среднее зна- чение возраст- ства в миллио- нах | |
|----------|--------------------|--|----------------------------------|------------------------------|--------------------------------|-------------------------------|-------------------------------|---|---|
| | | | | | | | | Возраст в млн. лет | Среднее зна- чение "примеч- ище" |
| 1 | ВП-5328 | Базальтовый порфирит, мицдальхамонит. Лавовый поток в толще среднего эоценса. 2,3,4 - Помутненные плагиоклазовые андези- то-базальтовые порфириты | 0,46 | 0,58 -- | 46,2 14,4 | 0,92 0,85 | 1,65 1,53 | 2,94 2,73 | 52 48 |
| 2 | ВП-5339 | Участок Платин-Гали-Джур, суббульматическое тело в среднезеленоватой вулканической толще | 1,63 | 1,90 -- | 62,5 31,7 | 3,09 3,94 | 5,52 6,52 | 2,78 3,28 | 49 58 |
| 3 | ВП-5283 | Участок Парвашен; лайка в толще средне- го эоценса | 0,624 | 0,76 -- | 42,9 29,3 | 1,11 1,18 | 1,98 2,11 | 2,60 2,77 | 55 46 |
| 4 | ВП-5286 | 5,6 - Олигопирровые и микропирровые ди- базы | 1,17 | 1,43 -- | 50,5 24,6 | 2,30 2,40 | 4,12 4,30 | 2,89 3,01 | 51 53 |
| 5 | ВП-5279 | Участок Парвашен-Будагилзор; лайка в толще среднего эоценса | 0,36 | 0,44 -- | 27,4 7,07 | 0,61 0,68 | 1,09 1,21 | 2,47 2,75 | 44 49 |
| 6 | ВП-5338 | -- | 0,67 | 0,82 -- | 43,8 42,2 | 1,26 1,11 | 2,25 1,90 | 2,75 2,43 | 47 ^{2,3} 43,5 ¹⁵ |
| 7 | ВП-5329 | Липарито-пакитовый порфир; суббульмати- ческое тело. | 3,08 | 3,76 -- | 70,6 21,6 | 5,26 4,92 | 9,42 8,81 | 2,51 2,35 | 45 42 |
| | | 8,9 - Витрохластические туфы липарито- пакитового состава (тракхиолипарито-дациты) | | | | | | | |
| 8 | ВП-5373 | Лезвий берег ущелья р. Мары в 3 км к юго- западу от села Мары | 5,94 | 7,25 -- | 91,9 70,2 | 9,27 0,86 | 16,6 17,6 | 2,29 2,43 | 41 43 |
| 9 | ВП-5377 | -- | 4,52 | 5,51 -- | 43,6 51,5 | 6,94 7,29 | 12,4 13,0 | 2,25 2,37 | 41,5 ¹ 42 |

Краткая характеристика исследованных пород (наименование породы, местонахождение, условия залегания и петрографический состав)

Образец 1 - миндалекаменный базальтовый порфирит. Участок Марц; лавовый поток в толще среднего эоцена. Порода порфировой структуры; вкрапленники плагиоклаза интенсивно карбонатизированы и альбитизированы; основная масса состоит из погруженных в бурый девитрифицированный мезостазис микролитов плагиоклаза. Миндалины заполнены карбонатом, иногда хлоритом в ядре.

Образцы 2,3,4 - полифировые андезито-базальтовые порфириты: 2 - субвулканическое тело в среднезоценовой вулканической толще; участок Папни-тали-джур. 3 и 4 - дайки в толще среднего эоцена; участок Парвашен. Порода порфировой структуры; вкрапленники: кислый лабрадор (№ 55) и редкие, нацело хлоритизированные и карбонатизированные зерна авгита. Основная масса: хаотично расположенные микролиты плагиоклаза (№ 45) и клинопироксена, интерстиции которых выполнены хлорит-карбонатным веществом.

Образцы 5,6 - олигофировые и микропорфировые диабазы. Дайки в толще среднего эоцена. Участок Парвашен-Будагидзор. Порода порфировой структуры. Единичные вкрапленники лабрадора превращены иногда в олигоклаз-альбитовый агрегат. Основная масса - микролиты плагиоклаза, погруженные в хлоритовую и хлорит-карбонатовую массу, развивающуюся по клинопироксену и стеклу.

Образец 7 - липарито-дацитовый порфир. Субвулканическое тело в толще среднего эоцена около с. Марц. Порода порфировой структуры. Единичные вкрапленники зонального плагиоклаза (№ 45 в ядре и № 20 по периферии). Основная масса состоит из полевошпатового вещества (перекристаллизованного из стекла) и микролитов плагиоклаза.

Образцы 8, 9 - туфы витро-литокластические субщелочного липарито-дацитового состава (трахилипарато-дациты). Левый борт ущелья р. Марц, в 3 км к ЮЗ от села Марц. Порода сложена зональным плагиоклазом (андезин-олигоклаз), единичными мелкими чешуйками биотита, погруженными в микрофельзитовую основную массу.

Геологическая интерпретация результатов радиогеохронологических исследований

В таблицу 1 сведены результаты определения абсолютного возраста рассматриваемых типов пород Марцигетского рудного поля. В графах таблицы приводятся: наименование пород, местонахождение, краткие данные об условиях залегания и петрографическом составе.

Как видно из таблицы, на 9 характерных образцах, представляющих главные типы пород Марцигетского рудного поля, выполнены 19 серий радиологических исследований. Получены два отчетливо выделяющихся закономерных ряда возрастных значений, укладывающихся в узких диапазонах 56-48 млн. лет и 48-40 млн. лет. Для наглядности составлена также гистограмма распределения значений абсолютного возраста этих пород (рис. 1).

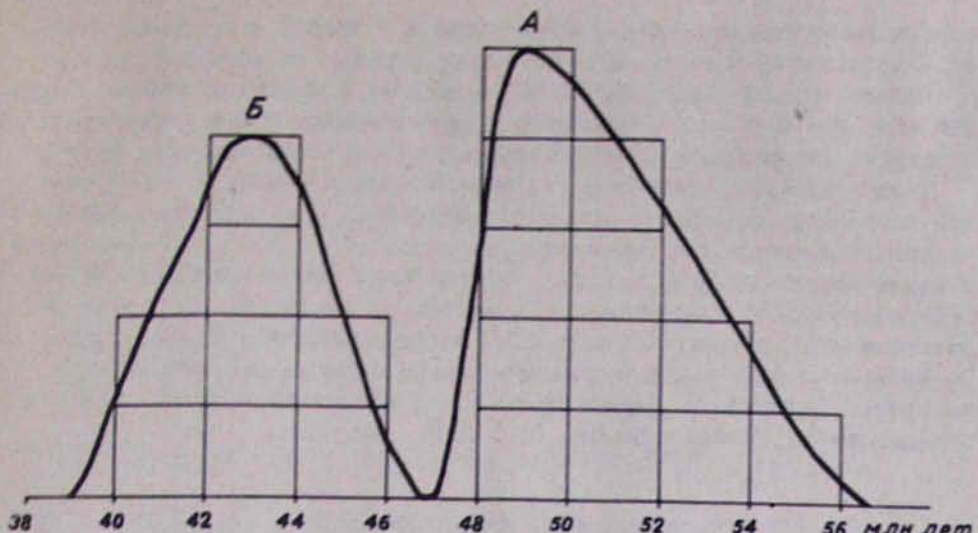


Рис. 1. Гистограмма распределения значений абсолютного возраста эфузивно-экструзивных и дайковых пород Марцигетского рудного поля. А. Базальтовые порфиры, андезито-базальтовые порфиры (субвулканические), микропорфировые диабазы (дайки). $n = 12$.
Б. Туфы липарито-дацитовые субщелочные, липарито-дациты (субвулканические). $n = 8$.

Из приведенного в таблице и гистограмме фактического материала отчетливо выделяются две возрастные группы (А и Б) пород с отмеченными на гистограмме абсолютными значениями.

К группе А, с возрастными значениями 56–48 млн. лет, принадлежат:

- 1) миндалекаменные базальтовые порфиры в виде лавового потока (обр. № ВП-5328),
- 2) плагиоклазовые порфиры андезито-базальтового состава, представленные субвулканическими и дайкообразными телами (обр. № ВП-5239, ВП-5283, ВП-5286),
- 3) микропорфировые диабазовые дайковые тела (обр. № ВП-5279, ВП-5338).

К группе Б, с возрастными значениями 46–40 млн. лет, принадлежат:

- 4) субвулканические липарито-дациты (обр. № ВП-5329),
- 5) туфы трахилипарато-дацитовые (обр. № ВП-5373, ВП-5377).

Породы первой группы, по данным абсолютных возрастных значений, соответствуют среднему эоцену, а второй группы – верхнему эоцену.

Следует также отметить, что определенное петрохимическое сходство намечается также внутри выделенных комплексов как среднего, так и верхнего эоцена.

На основании геологических фактов, для района Марцигетского рудного поля, как уже отмечено выше, палеонтологически датированы

осадочные свиты палеогена, отнесенные к нижнему и среднему эоцену. Рассматриваемые же вулканические породы, налегающие на эти отложения, предположительно были отнесены к среднему эоцену. Верхний возрастной предел вулканитов и размещенных в них экструзивов и даек не датировался за отсутствием прямых геологических фактов.

Таким образом, данные радиолого-геохронологических исследований позволили определить время формирования магматических образований Марцигетского рудного поля, выделить в них среднеэоценовые и верхнеэоценовые комплексы, осветить возрастные взаимоотношения субвулканических и дайковых комплексов. О достаточно хорошем соответствии радиогеохронологических и геологических данных свидетельствуют также факты пересечения субвулканических андезито-базальтовых порфиритов дайкой диабаза. Средневозрастные их значения определяются, соответственно, 51,5 и 46 млн. лет.

ЛИТЕРАТУРА

- Асланян А. Т. Региональная геология Армении. "Айпетрат", Ереван, 1958.
- Асланян П. М. Палеогеновые моллюски северной части Армянской ССР. "Изв. АН Арм. ССР", Науки о Земле, т. XXУ1, № 2, 1973.
- Саркисян О. А. Палеоген Севано-Ширакского синклиниория. Изд. "Митк", Ереван, 1966.